

分岐部周辺における流れの水理特性について

京都大学防災研究所 正員 芦田和男
舞鶴工業高等専門学校 正員 ○川合 勝

1. はしがき 河川分流において、安定な河道を維持するためには、流量配分比や流砂量配分比および分岐部周辺における局所的な現象を把握することは極めて重要なことである。従来は、主にT型分岐を対象として流量配分比や流砂量配分比に関して研究が進められてきた。しかし、流量配分比や流砂量配分比は、分岐形状や水理量によって変化することが明らかであり、これらの影響について系統的に調べる必要がある。ここでは、その第一歩として、図-1に示すようなY型分流水路を対象として若干の実験的検討を行うとともに、エネルギー方程式による流量配分比の算定法について若干の考察を行った。

2. 実験概要 使用した水路は図-1に示されるようなY型分流水路で、主水路幅は20cm、分水路幅は10cmの長方形断面を持ち、主水路上流部が4m、下流部、分水路はともに3mである。また水路こう配は1/1000に設定され、水路全区間が常流領域になるように底面に人工粗度が付けられている。実験の種類は表-1に示すとおりで、分岐部周辺において、水深、流速、死水域形状および分離流線形状が測定された。

3. 実験結果の考察 流量配分比(χ)や掃流砂量配分比(X_g)は、主水路の形状による二次流の巻き程度と分岐による二次流の巻き程度が相互に影響し合って決まる。図-2は X_g と χ および分岐形状との関係が示されている。ここでは、 X_g は底面近傍での水路幅に対する分離流線幅比に相当するものとしている。図から、いづれのケースとも X_g に関して、 χ および分岐形状が大きく影響することがわかる。同じ χ の値に対して、 X_g は θ_1 が大きくなると減少し、 $\theta_1=60^\circ$ のケースでは、 X_g が χ よりも小さくなっている。これは θ_1 が大きくなると主水路の曲りによる二次流の形成が分岐による二次流を打消すように働き、底面近傍の分離流線が分水路側へ移動するためと考えられる。つぎに、流量配分比に及ぼす分岐形状と水理量の影響について調べよう。図-3には、 θ をパラメーターとして、 χ と主水路上流のフルード数(Fro)との関係を示している。同図から、 χ は分岐形状と Fro によって変化することが明らかである。分岐形状による変化については、 θ によって、分岐直後に、図-1に示されるCA, C'Bに沿って生じる剥離領域の大

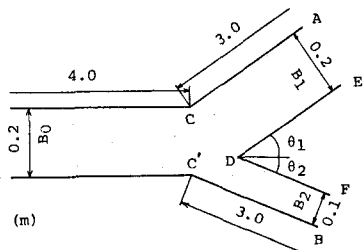
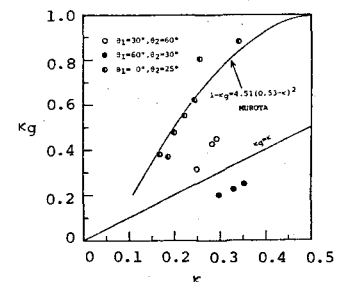


図-1 水路平面形状

表-1 実験条件

Exp. No.	θ_1	θ_2	$Q(1/s)$	χ	Fro
A	1	30°	60°	1.0	0.250
	2			2.0	0.285
	3			3.8	0.295
B	1	60°	30°	1.0	0.300
	2			2.0	0.335
	3			3.8	0.355

図-2 $X_g \sim (\chi, \theta)$ の関係

きさが異なり、エネルギー損失に影響するためであると考えられる。一方、 F_{ro} の増加に伴なつてこれが大きくなることについては、 F_{ro} が大きくなると、流れは直進性が強まり、そのため上述した剥離領域の大きさが変化してエネルギー損失に影響するためであると考えられる。このように分岐部でのエネルギー損失を推定することは極めて重要であり、一例として、実験A-3に関してこれを調べたものが図-4に示されている。図中の分岐部周辺のエネルギー線に注目すると、主水路ではその変化は顕著でないが、分岐直後にエネルギーの急激な低下がみられる。これは、剥離領域が生じているところであり、剥離による損失が現われているものと考えられる。こうした現象は断面急拡部の水理特性¹⁾と極めて良く似ている。

4 流量配分比について 前述したように、分岐部周辺における水理特性は断面急拡部のそれと類似していることから、急拡部の水理特性の研究成果を適用して流量配分比を求めてみる。いま、主水路上流、下流および分水路に検査面をとり、それらの断面を添字0, 1, 2で表わすと、エネルギー方程式および連続式は次のようになる。

$$Z_0 + h_0 + \alpha_0 V_0^2/2g = Z_1 + h_1 + \alpha_1 V_1^2/2g + h_{e1} = Z_2 + h_2 + \alpha_2 V_2^2/2g + h_{e2} \quad \dots (1)$$

$$Q_1 = (1-\kappa) Q_0 \quad \dots (2), \quad Q_2 = \kappa Q_0 \quad \dots (3)$$

$$\begin{aligned} \text{ここで, } h_{e1} &= \zeta_1 (V_1^2/2g) \\ h_{e2} &= \zeta_2 (V_2^2/2g) \end{aligned} \quad \dots (4), \quad \begin{aligned} V_1 &= \rho_1 \sqrt{g h_1 \zeta_1} \\ V_2 &= \rho_2 \sqrt{g h_2 \zeta_2} \end{aligned} \quad \dots (5)$$

いま、(1)式に(2)～(5)式を代入し、 $Z_1 = Z_2$ として、 κ について整理すると次式が得られる。

$$\kappa = \frac{1}{1+A}, \quad A = \frac{B_1 \rho_1 \zeta_1}{B_2 \rho_2 \zeta_2} \left\{ \frac{\rho_2^2 \zeta_2 (B_2 + \alpha_2)}{\rho_1^2 \zeta_1 (B_1 + \alpha_1) + 2} \right\}^{1/2} \quad \dots (6)$$

(6), (7)式で κ を算定するには、 ζ_1, ζ_2 の推定が必要で、これらを芦田¹⁾により求められた急拡による損失係数を用いることによれば、流水断面が最小となる断面幅が必要となる。そこで、図-5に示されるような流速分布に対して流水の幅を B および b としたとき、運動量が等しいとして求めた等価断面巾 b を最小断面幅とした。これは、 $b/B = (1/\zeta)(H/H')$ ---(8)と表わされる。
2 図-6 κ_C と κ_E の比較

は運動量補正係数、 H, H' はそれぞれ水路幅 B 、等価幅 b での平均水深である。更に測定した流速分布から ζ を求め、 ζ_1, ζ_2 を決めて、また実験より $\rho_1 = \rho_2 = 1.2$, $\zeta_1 = \zeta_2 = 1/1000$, $\alpha_1 = \alpha_2 = 1.0$ として κ を算定した。こうして求めた κ (κ_C) と実験値 (κ_E) を比較したのが図-6である。計算値と実験値はかなり良く一致し、こうした取扱いが妥当なことを示している。

参考文献: 1) 芦田; 開水路断面急拡部の水理とその適用に関する研究, 災防災年報, 昭37.

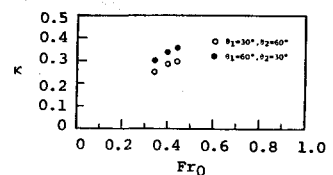


図-3 $K \sim (F_{ro}, \theta)$ の関係

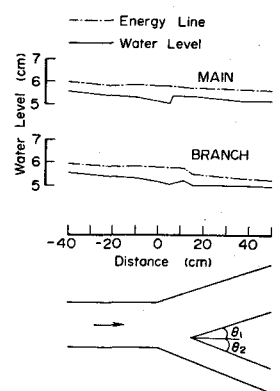


図-4 分岐部周辺の損失水頭

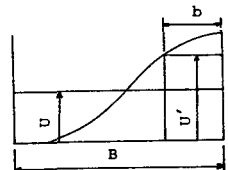


図-5 等価断面幅

